

## محاسبات مهندسی نفت با پارامترهای فازی

حمیدرضا خاتمی (کارشناس ارشد)

محمد رنجبر (دانشیار)

مهین شفیعی (استادیار)

دانشکده‌ی فنی و مهندسی، دانشگاه شهید بهشتی کرمان

در این تحقیق، جبر فازی به عنوان ابزاری برای حل عددی معادلات و روابط مهندسی دارای پارامترهای نامطمئن و نادقيق معرفی می‌شود. همچنین انواع مختلف اعداد فازی و روش‌های به کارگیری و پردازش آنها مورد بحث قرار خواهد گرفت؛ مثلاً جرم رسوب سولفات استرانسیم در میدان‌های نفتی، هم بهوسیله‌ی اعداد معمولی و هم توسط اعداد فازی، محاسبه می‌شود. ثابت حلالیت سولفات استرانسیم، غلظت سولفات آزاد و جرم رسوب به صورت اعداد فازی محاسبه و با نتایج معمولی مقایسه می‌شوند. به نظر می‌رسد، بدلیل اینکه اعداد فازی کل مقادیر ممکن را برای پارامتر نادقيق مدل در نظر می‌گیرند، نتایج به دست آمده از محاسبات فازی، در مقایسه با نتایج معمولی، به واقعیت نزدیک‌ترند.

عملیات ریاضی بهوسیله‌ی اعداد فازی با توابع عضویت و اشکال دلخواه کاربرد جبر فازی را برای جهان واقعی، پیچیده و مشکل می‌کند.

### ۱. مقدمه

برای کسب نتایج قابل اعتماد از حل عددی مسائل مهندسی، مقادیر دقیق پارامترهای مربوط به معادلات مسئله مورد نیاز است. اما در عمل، چنین مقادیر دقیقی غالباً در دسترس نیستند. معمولاً پارامترهای مدل، تغییراتی نشان می‌دهند که ممکن است مثلاً ناشی از اشکالات موجود در آزمایش‌ها یا فرایندهای ساخت مواد براساس مشخصات فیزیکی یا هندسی از پیش تعیین شده، خطاهای معین و غیرمعین، دشواری‌های نمونه‌برداری و غیره باشد. درواقع عدم قطعیت یاد شده برگرفته از نقص اطلاعات یا عدم دقت کافی است. بنابراین، نتایج به دست آمده از راه حل‌هایی که فقط بعضی مقادیر دقیق و معمولی را برای پارامترهای نامعین به کار می‌برند، نمی‌توانند به عنوان نماینده‌ی کل نتایج ممکن برای شرایط عدم اطمینان مذکور قرار گیرند. برای رفع این محدودیت، کاربرد نظریه‌ی مجموعه‌های فازی<sup>[۱]</sup> شیوه‌یی عملی و واقع‌گرایانه‌تر خواهد بود. به ویژه، عدم قطعیت‌های موجود در پارامترهای مدل را می‌توان بهوسیله‌ی اعداد فازی بررسی کرد. این اعداد از طریق اشکال خود تأثیرپراکنده‌ی پارامترهایی را که از داده‌های تجربی یا دانش انسانی به دست می‌آیند، به نمایش می‌گذارند. بهوسیله‌ی اعداد و جبر فازی، عدم قطعیت‌های فرضی اولیه در طول فرایند محاسبه و پردازش می‌شوند، و در نهایت نتایجی فازی حاصل می‌شوند که قابلیت اعتماد حل مسئله را منعکس می‌کنند.

۲. تعریف اعداد فازی

مفهوم اعداد فازی از این واقعیت سرچشمه می‌گیرد که بسیاری از پدیده‌های کمی را نمی‌توان با یک عدد مطلق و بدون ابهام توصیف کرد. عباراتی مانند حدوداً ۱۰/۲۵، یا نزدیک به ۷، و غیره از این دسته‌اند. اساساً اعداد فازی دسته‌بندی از مجموعه‌های فازی‌اند که بعضی ویژگی‌های خاص را نشان می‌دهند.<sup>[۲]</sup> مجموعه‌های فازی از تعمیم مفهوم مجموعه‌های معمولی بدین صورت حاصل می‌شوند که هر عضو مجموعه‌ی مرتع تهنا با ویژگی عضو بودن یا نبودن در یک زیرمجموعه‌ی معین از مجموعه‌ی مرتع مشخص نمی‌شود، بلکه هر عضو مجموعه‌ی مرتع با درجه‌ی معین به زیرمجموعه‌ی مذکور تعلق خواهد داشت. مجموعه‌های معمولی با استفاده از تابع نشان‌گر مطابق رابطه‌ی ۱ بیان می‌شوند:

$$K_A(x) = \begin{cases} 0 & \text{if } x \notin A \\ 1 & \text{if } x \in A \end{cases} \quad (1)$$

که در آن  $A$  زیرمجموعه‌یی از مجموعه‌ی مرتع  $U$  است. حال اگر برد تابع نشان‌گر از مجموعه‌ی  $\{0^{\circ}, 1^{\circ}\}$  به بازه‌ی  $[1^{\circ}, 0^{\circ}]$  گسترش یابد، شکل جدیدی از مجموعه‌ها به وجود می‌آید که «مجموعه‌های فازی» نامیده

کاربرد اعداد و عملیات جبری فازی، امری بدیهی و ساده نیست. اگرچه عملگرهای معمولی ریاضی را می‌توان برای اعداد فازی از طریق اصل گسترش<sup>[۲]</sup> تعمیم داد، مسئله‌ی انجام مناسب و مطلوب

### ۳. جبر فازی

در حل عددی مسائل مهندسی، اعداد فازی می‌توانند نماینده‌ی پارامترهای غیرقطعی و نامطمئن معادلات و مدل‌ها باشند. موفق‌بودن محاسبات فازی وابسته به شیوه‌یی است که این اعداد با استفاده از آن پردازش می‌شود. این شیوه باید بتواند:

- اعداد فازی با شکل تابع عضویت دلخواه، به ویژه اعداد فازی به دست آمده از داده‌های تجربی را وارد محاسبات کند.

- عملیات جبری روی این اعداد را به‌گونه‌یی محقق سازد که باعث از دست رفتن اطلاعات مربوط به عدم قطعیت نشود.

برای تعریف عملیات جبری با اعداد فازی، می‌توان دو مفهوم را در نظر گرفت. نخست آن‌که، اعداد فازی را می‌توان به مجموعه بازه‌هایی برای درجات عضویت مختلف، تجزیه کرد که درنتیجه‌ی آن جبر اعداد فازی به جبر بازه‌یی تبدیل می‌شود.<sup>[۲]</sup> دوم آن‌که، اصل گسترش مطابق معادله‌ی ۵ به کار گرفته شود؛ یعنی طبق این اصل، انجام توابع جبری برای مقادیر معمولی، به مقادیر فازی تعمیم می‌یابند، براین اساس، اگر  $\tilde{a}$  و  $\tilde{b}$  اعداد فازی با تابع عضویت  $(x)$  و  $\mu_{\tilde{b}}(y)$  باشند، و نیز  $x, y \in U$  باشند، آنگاه نتیجه‌ی عمل  $\tilde{c} = f(\tilde{a}, \tilde{b})$  برای تابع دلخواه  $f$  با معادله‌ی ۵ تعیین می‌شود:

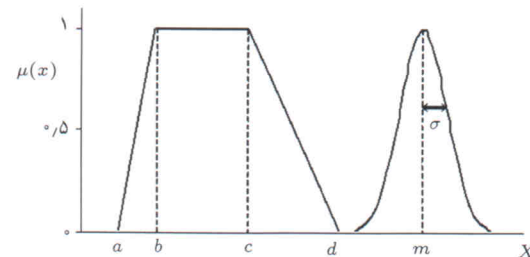
$$\mu_{\tilde{c}}(z) = \sup_{z=f(x,y)} \min\{\mu_{\tilde{a}}(x), \mu_{\tilde{b}}(y)\} \quad (5)$$

گسست تابع عضویت با اشکال دلخواه، استفاده از اصل گسترش را ساده می‌کند. به طور کلی دو روش برای به دست آوردن اعداد فازی گسسته قابل تصور است: گسست تابع عضویت با تقسیم محور طول‌ها یا محور عرض‌ها به بازه‌هایی با اندازه‌ی معین. تقسیم محور طول‌ها یعنی  $x$ ها، به دلیل ایجاد پاره‌یی تأثیرات نامطلوب حین انجام عملیات جبری برای این اعداد فازی، نامطلوب می‌نماید. مجموعه‌های فازی به دست آمده، بسته به چگونگی تقسیم محور  $x$  اشکال متقارن خواهند داشت؛ یعنی اگر بازه‌ها برای کاهش میزان محاسبات، بزرگ درنظر گرفته شوند، ممکن است مجموعه‌های فازی به دست آمده دیگر محدب، و در نتیجه عدد فازی نباشند - اگرچه در واقع چنین‌اند.

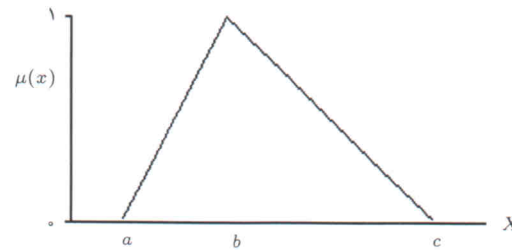
بنابراین راه حل مناسب، تقسیم محور  $\mu$  به  $n$  بخش مساوی ( $\Delta\mu = 1/n$ ) است (شکل ۳). در این حالت، عدد فازی  $\tilde{n}$  با عدد فازی گسسته شده  $n_d$  طبق معادله‌ی ۶ تقریب زده می‌شود.

$$\tilde{n}_b = \left\{ \left( x_{\circ}^L, \mu_{\circ} \right), \dots, \left( x_n^L, \mu_n \right), \left( x_{\circ}^R, \mu_{\circ} \right), \dots, \left( x_n^R, \mu_n \right) \right\}$$

$$\mu_i = \mu_{i-1} + \Delta\mu, i = 1, 2, \dots, n, \mu_{\circ} = \circ \quad \mu_n = 1 \quad (6)$$



شکل ۱. نمایش عدد فازی  $\tilde{m}$  با تابع عضویت گوسی، و بازه‌ی فازی  $[b, c]$  با تابع عضویت ذوزنقه‌یی.



شکل ۲. عدد فازی مثلثی  $A = \langle a, b, c \rangle_{TFN}$

می‌شوند و در آن هر عضو مجموعه‌ی مرجع در زیرمجموعه‌ی دلخواه  $A$  دارای درجه‌ی عضویتی است که می‌توان آن را به‌وسیله‌ی ضابطه‌یی خاص مشخص کرد. عدد فازی، یک مجموعه‌ی فازی محدب روی مجموعه‌ی مرجع  $U$  با تابع عضویت  $\mu(x) \in [0, 1]$  است که فقط به ازاء  $x \in U$  مقدار عضویت آن برابر با یک خواهد بود (شرط تک‌نامایی بودن). برای مثال، اعداد فازی متقارن گوسی دارای توابع عضویتی مطابق رابطه‌ی ۲ هستند:

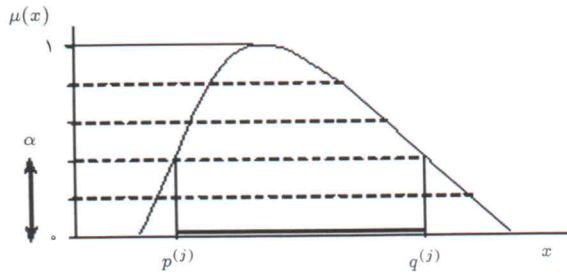
$$\mu(x) = e^{-\frac{(x-m)^2}{\tau\sigma^2}} \quad (2)$$

که در آن  $m$  مقدار میانگین، و  $\sigma$  انحراف استاندارد توزیع گوسی را نشان می‌دهد. با حذف شرط تک‌نامایی بودن، بازه‌ی فازی با تابع عضویت ذوزنقه‌یی و ضابطه‌ی ۳ به دست می‌آید (شکل ۱):

$$\mu(x) = \max \left( \min \left( \frac{x-a}{b-a}, 1, \frac{d-x}{d-c} \right), \circ \right) \quad (3)$$

عدد فازی مثلثی نیز نوع دیگری از اعداد فازی است که عمدهاً به دلیل خطی بودن و سادگی محاسبات با آن، برای حل مسائل مهندسی مورد توجه بوده است. این اعداد مطابق معادله‌ی ۴ تعریف می‌شوند (شکل ۲):

$$\mu(x) = \begin{cases} \circ & if x < a \\ \frac{x-a}{b-a} & if a \leq x \leq b \\ \frac{x-c}{b-c} & if b < x \leq c \\ \circ & if c < x \end{cases} \quad (4)$$



شکل ۴. تجزیه‌ی یک عدد فازی دلخواه به بازه‌های غیرفازی.

به طور کلی، شکل معادلات ۹ و ۱۰ به نوع عمل جبری (جمع، ضرب، لگاریتم و غیره) و اینکه آیا دامنه‌ی عدد فازی فقط مثبت، فقط منفی، یا هم مثبت و هم منفی است، بستگی دارد.

رویه‌ی ارائه شده، بسیار شبیه روش تجزیه‌ی اعداد فازی به  $\alpha$ -برش‌ها است. در این روش، عملیات جبری برای اعداد فازی با استفاده از جبر بازه‌بی انجام می‌شود. اگر اعداد فازی  $\tilde{a}$  و  $\tilde{b}$ ، به صورت زیر به مجموعه بازه‌های  $A$  و  $B$  تجزیه شوند (شکل ۴):

$$A = \{[p_a^{(0)}, q_a^{(0)}], [p_a^{(1)}, q_a^{(1)}], \dots, [p_a^{(m)}, q_a^{(m)}]\}$$

$$B = \{[p_b^{(0)}, q_b^{(0)}], [p_b^{(1)}, q_b^{(1)}], \dots, [p_b^{(m)}, q_b^{(m)}]\} \quad (11)$$

و  $\tilde{a} * \tilde{b}$  یکی از چهار عمل اصلی روی بازه‌ها باشد، مقطع  $\alpha$  برای  $\tilde{a} * \tilde{b}$  بر حسب مقاطع  $\alpha$  برای  $\tilde{a}$  و  $\tilde{b}$  با رابطه‌ی ۱۲ بیان می‌شود:

$$\alpha_{(\tilde{a} * \tilde{b})} = \alpha_{\tilde{a}} * \alpha_{\tilde{b}} \quad (12)$$

برای نمونه، به منظور تعیین تیجه‌ی عمل جبری  $\tilde{a} * \tilde{b}$  ابتدا باید جبر بازه‌ها به طور مجزا برای هر سطح عضویت  $m_j$ ،  $j = 0, 1, 2, \dots, m$  اعمال شود:

$$[p_a^{(j)}, q_a^{(j)}] \cdot [p_b^{(j)}, q_b^{(j)}] = [\min(M^{(j)}), \max(M^{(j)})] \quad (13)$$

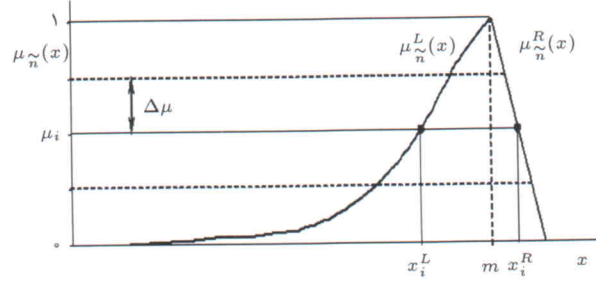
$$M^{(j)} = \left\{ p_a^{(j)} \cdot p_b^{(j)}, p_a^{(j)} \cdot q_b^{(j)}, q_a^{(j)} \cdot p_b^{(j)}, q_a^{(j)} \cdot q_b^{(j)} \right\}$$

در نهایت، حاصل فازی عملیات ذکر شده با ترکیب مجدد بازه‌های به دست آمده به شکل یک عدد فازی در می‌آید؛ یعنی:

$$\tilde{a} * \tilde{b} = \cup \alpha_{(\tilde{a} * \tilde{b})} \cdot \alpha \quad \text{و} \quad \alpha \in [0, 1] \quad (14)$$

#### ۴. تقریب استاندارد

در این روش، تیجه‌ی عمل جبری فازی که ممکن است یک عدد فازی با شکل دلخواه باشد، به یک عدد فازی مثلى تقریب زده می‌شود.



شکل ۳. تقریب عدد فازی  $n$  به عدد فازی گسسته شده  $n_d$ .

فرض کنید  $\mu_n^L(x)$  و  $\mu_n^R(x)$  توابع یکنواختی باشند که به ترتیب بر شاخه‌ی سمت چپ و راست تابع عضویت  $\mu_{\tilde{n}}(x)$  دلالت می‌کنند. این توابع از معادله‌ی ۷ پیروی خواهد کرد:

$$\mu_{\tilde{n}(x)} = \begin{cases} \mu_n^L(x), & x \in \left\{ x \mid \frac{d\mu_{\tilde{n}}(x)}{dx} \geq 0 \right\} \\ \mu_n^R(x), & x \in \left\{ x \mid \frac{d\mu_{\tilde{n}}(x)}{dx} \leq 0 \right\} \end{cases} \quad (7)$$

عناصر  $x_i^L$  و  $x_i^R$  تکیه‌گاه عدد فازی گسسته شده  $n_d$  مطابق معادله‌ی ۸ داده می‌شوند:

$$x_i^L = \left( \mu_n^L \right)^{-1}(\mu_i) \quad \text{و} \quad x_i^R = \left( \mu_n^R \right)^{-1}(\mu_i) \quad \text{و} \quad i = 0, 1, 2, \dots, n. \quad (8)$$

برای اعداد فازی گوسی، می‌توان از عناصر مریبوط به  $i = 0$  صرف نظر کرد.

با استفاده از اعداد فازی گسسته شده  $n_d$  در معادلات ۶ و ۷ که نماینده‌ی اعداد فازی  $n$  هستند، عملیات جبری را می‌توان برای هر عنصر از درجات عضویت  $\mu_i$  به طور جداگانه انجام داد. از میان تعداد ترکیبات ممکن بین این عناصر، ترکیب قابل قبول که در نهایت به تیجه‌ی صحیح می‌رسد، با استفاده از اصل گسترش تعیین می‌شود. برای مثال، اگر جمع دو عدد فازی  $\tilde{a}, \tilde{b} > 0$  با استفاده از شکل گسسته‌ی گسسته شده آنها،  $\tilde{a}_d$  و  $\tilde{b}_d$  مطلوب باشد،  $\tilde{c}_d$  یعنی شکل گسسته‌ی  $\tilde{c} = \tilde{a} + \tilde{b}$  فقط با ترکیب عناصر شاخه‌های چپ هر دو عدد فازی برای شاخه‌ی سمت چپ عدد  $\tilde{c}$ ، و ترکیب شاخه‌های سمت راست آنها برای به دست آوردن شاخه‌ی سمت راست  $\tilde{c}$ ، حاصل می‌شود. به عبارت دیگر، اگر  $\tilde{a}$  و  $\tilde{b}$  طبق معادله‌ی ۶ بر حسب  $x$  و  $y$  تعریف شوند، آنگاه  $\tilde{c}_d$  بر حسب  $z$ :

$$\tilde{c}_d = \{(z_0^L, \mu_0), \dots, (z_n^L, \mu_n), (z_0^R, \mu_0), \dots, (z_n^R, \mu_n)\} \quad (9)$$

$$z_i^L = x_i^L + y_i^L, \quad z_i^R = x_i^R + y_i^R, \quad i = 0, 1, 2, \dots, n. \quad (10)$$

## ۵. مسئله‌ی مهندسی: محاسبه‌ی مقدار رسوب

### سولفات استرانسیم

در این بخش، یک مسئله‌ی مهندسی با اعداد فازی و معمولی حل، و نتایج آن با یکدیگر مقایسه می‌شوند. این مسئله عبارت است از محاسبه‌ی مقدار رسوب سولفات استرانسیم در عملیات نفتی.

عموماً واژه‌ی «رسوب» در صنعت به تشکیل فاز جامد ناشی از تنشست یا کریستالیزاسیون کانی‌های غیرآلی موجود در آب در یک محل خاص، اطلاق می‌شود.<sup>[۵]</sup> تشکیل رسوب سولفات‌های باریم، استرانسیم و کلسیم در عملیات بهره‌برداری و انتقال نفت و گاز، یک مشکل جدی است. این رسوبات با چسبیدن به سطوح داخلی لوله‌ها، سوپاپ‌ها و دیگر تجهیزات سطحی، باعث کاهش میزان جریان سیال و حتی بسته شدن کامل آنها می‌شوند. رسوبات سولفات‌های می‌توانند به دلیل تغییر در دما و/یا فشار در سیر جریان آب ایجاد شوند؛ اما دلیل اصلی تشکیل این رسوبات، ناسازگاری شیمیایی بین آب‌های تزریقی و آب سازندی است.<sup>[۶]</sup> آب دریا که عموماً از آن برای عملیات سیلان زنی در میدان‌های نفتی استفاده می‌شود، غنی از یون سولفات است و آب سازندی نیز حاوی غلظت‌های بالایی از یون‌های باریم، کلسیم و/یا استرانسیم است که اختلاط این دو نوع آب، به ایجاد شرایط فوق اشباع و درنتیجه تشکیل رسوبات سولفات سولفاته می‌انجامد. ترکیب آب دریا و آب سازندی در این مسئله مطابق جدول ۱ است. محاسبات رسوب نیز برای دمای  $10^{\circ}C$ ، فشار  $70\text{ psig}$  و با یکسان بودن درصد آب دریا و آب سازندی در مخلوط انجام می‌شود.

برای محاسبه‌ی رسوب، ابتدا باید حلالیت نمک مورد نظر در دما، فشار و قدرت یونی مورد نظر معین شود. بدین منظور می‌توان از معادلات استخراج شده توسط Oddo-Tomson استفاده کرد. شکل تابعی این معادلات عبارت است از:<sup>[۷]</sup>

$$pK = a + bT + cT^2 + dP + eI^{1/5} + fI + gI^{1/5}T \quad (18)$$

جدول ۱. ترکیب آب سازندی (میدان نینیان) و آب دریا (دریای شمال).<sup>[۸]</sup>

یون	آب دریا	آب سازندی
Na	*۸۵۱۱	۱۰۵۰
K	۱۶۰	۳۸۰
Mg	۲۵	۱۳۵۰
Ca	۱۵۱	۴۰۰
Sr	۴۴	۸/۱
Ba	۲۰	۰/۰۳
Cl	۱۲۶۶	۱۹۳۵۴
SO <sub>۴</sub>	۱۴	۲۷۱۲
HCO <sub>۳</sub>	۱۴۳۰	۱۴۲
قدرت یونی (مولار)	۰/۴	۰/۷

\* غلظتها بر حسب mg/lit هستند.

البته با توجه به کاربرد جبر فازی برای حل مسائل مهندسی آمیخته با عدم قطعیت، به نظر می‌رسد که در بعضی موارد معایب استفاده از تقریب‌های خطی وزن بیشتری نسبت به مزیت‌های آن داشته باشد. اعداد فازی مثبتی تنها تقریبی خام و نادقيق از عدم قطعیت‌های واقعی‌اند. به علاوه، تقریب بی در پی اعداد فازی غیرخطی که در اثر انجام عملیات ریاضی غیرخطی مانند ضرب و تقسیم به دست می‌آیند، به اعداد خطی که برای اجتناب از تغییر شکل تابع مرجع صورت می‌پذیرد، باعث از دست رفتن اطلاعات مربوط به عدم قطعیت‌های اولیه در طول فرایند انجام محاسبات مهندسی می‌شود.

عدد فازی  $\tilde{n}$  با تابع عضویت گوسی  $(x) \mu_{\tilde{n}}(x)$  را می‌توان به عدد فازی مثبتی  $\tilde{n}_t$  با تابع عضویت  $(x) \mu_{\tilde{n}_t}(x)$  تقریب زد. برای تبدیل این دو نوع تابع به یکدیگر باید روابط ۱۵ و ۱۶ برقرار باشد (شکل ۵):

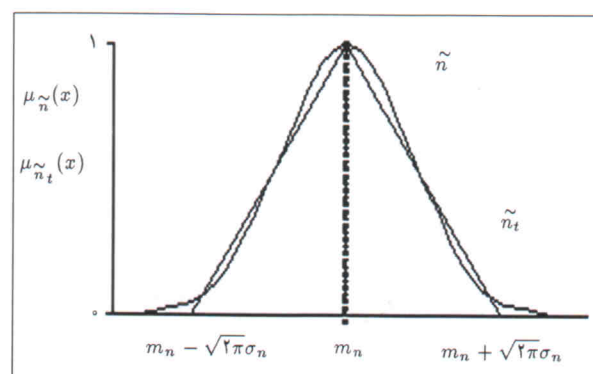
$$\mu_{\tilde{n}_t}(m_n) = \mu_{\tilde{n}}(m_n) = 1 \quad (15)$$

$$\int_{-\infty}^{+\infty} \mu_{\tilde{n}_t}(x) dx = \int_{-\infty}^{+\infty} \mu_{\tilde{n}}(x) dx \quad (16)$$

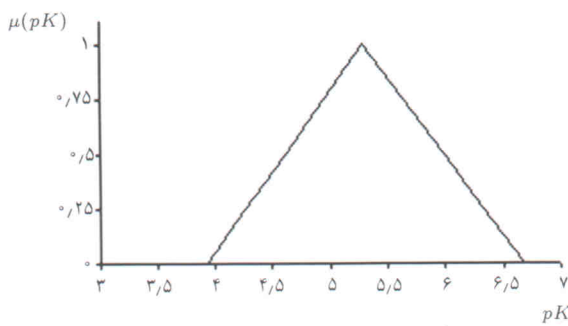
با توجه به روابط بالا، تابع عضویت  $(x) \mu_{\tilde{n}_t}$  چنین تعیین می‌شود:

$$\mu_{\tilde{n}_t}(x) = \max \left\{ 0, 1 - \frac{|x - m_n|}{\sqrt{2\pi}\sigma_n} \right\} \quad (17)$$

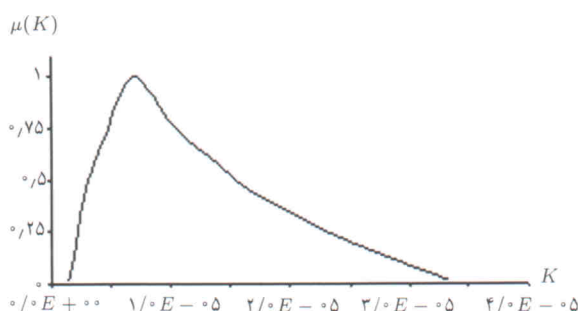
دو مزیت عمده‌ی به‌کارگیری اعداد فازی مثبتی عبارت‌اند از ۱. شیوه‌ی محاسبات با توابع خطی که تنها سه پارامتر دارند و حتی در حالت اعداد فازی متقابن به دو پارامتر نیز کاهش می‌یابد، بسیار ساده است. ۲. نتیجه‌ی اعمال جبری خطی فازی به اعداد فازی مثبتی منجر می‌شود.<sup>[۲]</sup> به عبارت دیگر، شکل اعداد فازی در طول محاسبه ثابت خواهد ماند و درنتیجه، غیرفازی‌سازی پارامتر به دست آمده را ساده خواهد کرد.



شکل ۵. عدد فازی اولیه‌ی  $\tilde{n}$  با شکل گوسی، و تقریب خطی آن به صورت عدد فازی مثبتی  $\tilde{n}_t$ .



شکل ۶. منفی لگاریتم حلایت سولفات استرانسیم در دمای  $100^{\circ}C$  و فشار  $4000\text{psi}$  به صورت یک عدد فازی.



شکل ۷. ثابت حلایت سولفات استرانسیم در دمای  $100^{\circ}C$  و فشار  $4000\text{psi}$  به صورت یک عدد فازی.

با توجه به اینکه  $\tilde{K} = 10^{-p\tilde{k}}$  برای محاسبه تابع  $\tilde{K}$ ، تابع عضویت  $p\tilde{K}$  برای سولفات استرانسیم در دمای  $100^{\circ}$  درجه سلسیوس و فشار  $4000\text{psi}$ ، با استفاده از رابطه های ۶ و ۸ گستینه می شود (شکل ۶):

$$p\tilde{K}_{SrSO_4} = \left\{ \frac{0}{3/92} + \frac{0/25}{4/27} + \frac{0/5}{4/61} + \frac{0/75}{4/96} + \frac{1}{5/30} + \frac{0/75}{5/65} + \frac{0/5}{5/99} + \frac{0/25}{6/34} + \frac{0}{6/68} \right\} \quad (22)$$

که در آن منظور از علامت  $+$ ، اجتماع است. خط کسری نیز به معنای تقسیم جبری نیست، بلکه صورت کسر درجه عضویت مقدار مخرج کسر را در مجموعه های فازی  $p\tilde{K}_{srso_4}$  نشان می دهد.

با استفاده از اصل گسترش، تابع  $\tilde{K}$  نیز به صورت گستینه شده زیر به دست می آید (شکل ۷):

$$\tilde{K}_{SrSO_4} = \left\{ \frac{0}{3/4 \times 10^{-5}} + \frac{0/25}{2/29 \times 10^{-5}} + \frac{0/5}{1/54 \times 10^{-5}} + \frac{0/75}{1/04 \times 10^{-5}} + \frac{1}{7 \times 10^{-6}} + \frac{0/75}{4/71 \times 10^{-6}} + \frac{0/5}{3/17 \times 10^{-6}} + \frac{0/25}{2/14 \times 10^{-6}} + \frac{0}{1/44 \times 10^{-6}} \right\} \quad (23)$$

که در آن  $pK$  منفی لگاریتم حلایت،  $T$  دما بر حسب درجه فارنهایت،  $P$  فشار بر حسب  $psi$  و  $I$  قدرت یونی بر حسب مولار است. پارامترهای لازم نیز مطابق جدول ۲ تعیین خواهند شد: برای تعیین میزان رسوب لحاظ کردن اثر یون مشترک ضروری است. در تیجه در محاسبات رسوب، باید غلظت سولفات آزاد طبق فرمول ۱۹ تعیین شود:<sup>[۶]</sup>

$$[SO_4^{2-}] = \frac{C_{SO_4} - C_{Ca} - C_{Mg} - K' +}{2} \frac{[(C_{SO_4} - C_{Ca} - C_{Mg} - K')^2 + 4K'C_{SO_4}]^{1/2}}{2} \quad (19)$$

که در آن  $C_{Mg}$  و  $C_{Ca}$ ،  $C_{SO_4}$ :  $K' = 1/K_{MgSO_4}$  به ترتیب سولفات کل، کلسیم کل و منیزیم کل بر حسب مولار است. اکنون با در دست داشتن حلایت و مقدار سولفات آزاد، مقدار رسوب سولفات استرانسیم مطابق رابطه ۲۰ محاسبه می شود:<sup>[۷]</sup>

$$m_{SrSO_4}(\text{mole/kgH}_2\text{O}) = \frac{[Sr] + [SO_4^{2-}]_{free} - x}{2} \quad (20)$$

$$x = \{ ([Sr] + [SO_4^{2-}]_{free})^2 - 4([Sr][SO_4^{2-}]_{free} - K)^{1/2} \} \quad (20)$$

که در آن  $[Sr]$  غلظت یون استرانسیم است. با استفاده از داده های جدول ۲ توابع عضویت پارامترهای رابطه ۱۸ تعیین می شوند. شکل این توابع در ابتدا گویی است که برای سهولت انجام محاسبات و با استفاده از رابطه ۸ به توابع مثلثی تقریب زده می شوند. در نهایت با استفاده از جبر بازه ها برای اعداد فازی مثلثی،  $pK$  به صورت یک عدد مثلثی و با تابع عضویت زیر تعیین می شود:<sup>[۸]</sup>

$$p\tilde{K} = < a + bT + cT^2 + dP + eI^{1/2} + fI + gI^{1/2}T, \sqrt{2\pi}(\sigma_a + T\sigma_b + T^2\sigma_c + P\sigma_d + I^{1/2}\sigma_e + I\sigma_f + I^{1/2}T\sigma_g) >_{TFN} \quad (21)$$

جدول ۲. ضرایب و انحراف استاندارد تخمین حاصل ضرب حلایت سولفات ها.<sup>[۷]</sup>

$\sigma$	$MgSO_4$ ضرایب ۱۹۹	$\sigma$	$SrSO_4$ ضرایب ۹۲
a $0,037$	۱,۸۵۸	a $0,086$	۶,۱۰۵
b $0,000427$	۰,۰۰۴۵۱	b $0,00091$	۰,۰۰۱۹۸
c $0,0000013$	۰,۰۰۰۰۱۱۷۳	c $0,0000025$	۰,۰۰۰۰۰۶۳
d $0,0000023$	۰,۰۰۰۰۱۰۶۵۸	d $0,0000063$	۰,۰۰۰۰۴۵۷
e $0,046$	-۲,۳۷۸	e $0,087$	-۱,۸۸۷
f $0,017$	۰,۵۸۳	f $0,039$	۰,۶۶۷
g $0,00015$	-۰,۰۰۱۳۳	g $0,00030$	-۰,۰۰۱۸۸

ازای هر بشکه نفت، یک بشکه آب شور تولید می‌شود<sup>[۵]</sup>) بسیار بارزتر خواهد بود. علاوه بر این، محاسبات فازی قادر است حداکثر رسوپ ممکن را نیز با توجه به اطلاعات موجود پیش‌بینی کند (شکل ۸).

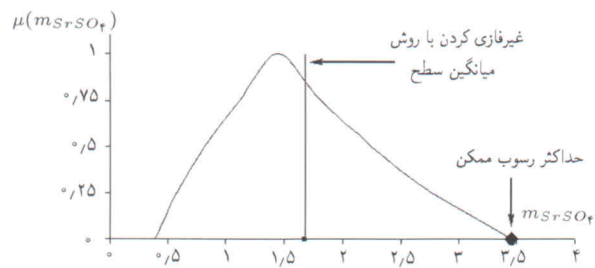
## ۶. نتیجه‌گیری

در این تحقیق، جبر و اعداد فازی برای انجام محاسبات مهندسی نفت معرفی شدند و عملکرد این دو روش در پیش‌بینی مقدار رسوپ سولفات استرانسیم مورد بررسی قرار گرفت. نتایج بدست آمده را می‌توان چنین بیان کرد:

۱. اعداد فازی تمام مقادیر ممکن برای یک پارامتر خاص را با شکل تابع عضویت خود نشان می‌دهند و در نتیجه، گستره‌ی نتایج ممکن را بعد از اعمال جبری به صورت یک عدد فازی نشان می‌دهند.
۲. به دلیل وجود داده‌های نادرستی و عدم قطعیت موجود در پارامترها، استفاده از اعداد فازی و جبر فازی نتایج قابل اعتمادتری را نسبت به روش غیرفازی و استفاده از کمیت‌های معمولی ارائه می‌دهد.
۳. استفاده از جبر و اعداد فازی در محاسبات دقیق و حساس مانند بدست آوردن مقدار رسوپ، دید وسیع‌تر و ابزار لازم برای تجزیه و تحلیل بیشتر را فراهم می‌آورد.

## قدرتانی

این تحقیق با حمایت گروه پژوهشی انرژی‌های تجدیدناپذیر پژوهشکده انرژی و محیط‌زیست دانشگاه شهید باهنر کمان انجام شده است.



شکل ۸. مقدار رسوپ سولفات استرانسیم بر حسب میلی گرم در لیتر ( $mg/l$ ), در دمای  $100^{\circ}C$  و فشار  $4000 \text{ psi}$  به صورت یک عدد فازی.

به همین ترتیب و با استفاده از اصل گسترش، غلظت سولفات آزاد و در نهایت مقدار رسوپ نیز محاسبه می‌شود (شکل ۸). در این حالت، برای غیرفازی کردن اعداد به دست آمده از روش میانگین سطح استفاده می‌شود. در این روش مقداری به عنوان نمایندهٔ تابع فازی انتخاب می‌شود که مساحت زیر منحنی عدد فازی را به دو قسمت مساوی تقسیم می‌کند.<sup>[۱۰]</sup>

اکنون می‌توان نتایج بدست آمده از محاسبات فازی و غیرفازی را با یکدیگر مقایسه کرد:

(۲۴) مقدار رسوپ سولفات استرانسیم (محاسبات معمولی)

$$m_{SrSO_4} = 1/42 mg/l$$

(۲۵) مقدار رسوپ سولفات استرانسیم (محاسبات فازی)

$$\tilde{m}_{SrSO_4} = 1/7 mg/l$$

تفاوت در پیش‌بینی مقدار رسوپ برای میدان‌های نفتی که سالانه میلیون‌ها بشکه آب شور به همراه نفت تولید می‌کنند (به طور متوسط به

## منابع

1. Zadeh L.A. "Fuzzy sets", *Information and Control*, 8, pp. 338-353 (1965).
2. Kaufmann A., Gupta M.M. "Introduction to fuzzy arithmetic", Van Nostrand Reinhold, New York, pp. 9 (1991).
3. Alefeld G., Herzberger J., "Introduction to interval computations", Academic Press, New York, pp. 53-54 (1983).
4. Buckley J., Qu Y., "On using  $\alpha$ -cuts to evaluate fuzzy equations", *Fuzzy sets and systems*, 38, pp. 309-312 (1990).
5. Cowan J.C., Weintritt D.J.; "Water-formed scale deposits", Gulf publishing company, Houston, Texas, pp. 6-25 (1976).
6. Yuan M.D., Todd A.C.; "Prediction of sulfate scaling tendency in oilfield operations", SPE 18484, pp. 63-72 (1991).
7. Oddo J.E., Tomson M.B.; "Why scale forms in oilfields and methods to predict it", SPE 21710, pp. 717-726 (1991).
8. Tomson M.B., Kan A.T., Fu G., Al-Thubaiti M., "Scale formation and prevention in the presence of hydrate inhibitors", SPE 80255, pp. 1-16 (2003).
9. خاتمی، حمیدرضا. رنجبر، محمد. یونسی، رضا. آریا، شاره. پیش‌بینی رسوپ سولفات‌ها در مخازن و تجهیزات بهره برداری نفت با استفاده از جبر اعداد فازی LR: مجموعه مقالات دهیمین کنگره ملی مهندسی شیمی ایران، ۶۲۷۳-۶۲۸۳، زاهدان (آبان ۱۳۸۴).
10. Nguyen H.T., Walker E.A.; "A first course in fuzzy logic", second edition, Chapman and Hall/CRC, pp. 331-332 (1999).